

8

1/201r

Prowadzący instalację:

P4 Sp. z o. o.
ul. Wynalazek 1
02-677 Warszawa

Warszawa, 16 mar 2023

Adres do korespondencji:

P4 Sp. z o. o.
ul. Wynalazek 1,
02-677 Warszawa

Urząd Miasta St. Warszawy
Wydział Ochrony Środowiska
dla Dzielnicy Śródmieście

Przedłożenie informacji o zmianie danych w instalacji

o których mowa w przedłożeniu informacji dla WAR1093D z dnia 14 kwi 2021

dotyczy: informacji o zmianie w zakresie danych w przedłożeniu informacji dla WAR1093D.

Podstawa prawna: ustawa z dnia 27 kwietnia 2001 r. Prawo ochrony środowiska, art. 152, ust 6, pkt 1, lit. c)

Niniejsza informacja zawiera wyłącznie dane, które uległy zmianie.

1) Oznaczenie prowadzącego instalację, jego adres zamieszkania lub siedziby.

Brak zmian.

2) Adres zakładu, na którego terenie prowadzona jest eksploatacja instalacji.

00-375 Warszawa, Wybrzeże Kościuszkowskie 31/33, gm. Śródmieście, pow. Warszawa

3) Rodzaj i zakres prowadzonej działalności, w tym wielkość produkcji lub wielkość świadczonych usług.

Usługi telekomunikacyjne, transmisja danych: 1TB/doba.

4) Czas funkcjonowania instalacji (dni tygodnia i godziny).

Brak zmian.

5) Wielkość i rodzaj emisji.

Dane przed zmianą:

L.p.	Nazwa anteny	Wysokość [m n.p.t.]	Rodzaj emisji	Równoważna moc	Azymut	Kąt pochylenia	Częstotliwość
------	--------------	------------------------	------------------	-------------------	--------	-------------------	---------------

				promieniowana izotropowo			
1	11_LV	43,1	PEM	1134 W	50°	0-12°	800 MHz
2	11_LV	43,1	PEM	3014 W	50°	2-12°	1800 MHz
3	11_LV	43,1	PEM	3274 W	50°	2-12°	2100 MHz
4	12_GHNT	43,1	PEM	1180 W	50°	0-12°	900 MHz
5	12_GHNT	43,1	PEM	3014 W	50°	2-12°	1800 MHz
6	12_GHNT	43,1	PEM	3274 W	50°	2-12°	2100 MHz
7	13_H	43,45	PEM	9820 W	50°	0-12°	2600 MHz
8	21_H	43,15	PEM	9820 W	170°	0-8°	2600 MHz
9	22_LV	42,8	PEM	1134 W	170°	0-8°	800 MHz
10	22_LV	42,8	PEM	3014 W	170°	2-8°	1800 MHz
11	22_LV	42,8	PEM	3274 W	170°	2-8°	2100 MHz
12	23_GHNT	42,8	PEM	1180 W	170°	0-8°	900 MHz
13	23_GHNT	42,8	PEM	3014 W	170°	2-8°	1800 MHz
14	23_GHNT	42,8	PEM	3274 W	170°	2-8°	2100 MHz
15	31_H	46,05	PEM	9820 W	275°	0-11°	2600 MHz
16	32_LV	45,7	PEM	1134 W	275°	0-11°	800 MHz
17	32_LV	45,7	PEM	3014 W	275°	2-11°	1800 MHz
18	32_LV	45,7	PEM	3274 W	275°	2-11°	2100 MHz
19	33_GHNT	45,7	PEM	1180 W	275°	0-11°	900 MHz
20	33_GHNT	45,7	PEM	3014 W	275°	2-11°	1800 MHz
21	33_GHNT	45,7	PEM	3274 W	275°	2-11°	2100 MHz
22	RL1	42,6	PEM	1820 W	307°		80 GHz

Dane po zmianie:

L.p.	Nazwa anteny	Wysokość [m n.p.t.]	Rodzaj emisji	Równoważna moc promieniowana izotropowo	Azymut	Kąt pochylenia	Częstotliwość
1	11_HNV	43,1	PEM	1512 W	50°	0-12°	800 MHz
2	11_HNV	43,1	PEM	4018 W	50°	2-12°	1800 MHz
3	11_HNV	43,1	PEM	4365 W	50°	2-12°	2100 MHz
4	12_GLT	43,1	PEM	1180 W	50°	0-12°	900 MHz
5	12_GLT	43,1	PEM	4018 W	50°	2-12°	1800 MHz
6	12_GLT	43,1	PEM	4365 W	50°	2-12°	2100 MHz
7	13_H	43,45	PEM	10122 W	50°	0-12°	2600 MHz
8	21_H	43,15	PEM	10122 W	170°	0-12°	2600 MHz
9	22_LV	42,8	PEM	1512 W	170°	0-12°	800 MHz
10	22_LV	42,8	PEM	4018 W	170°	2-12°	1800 MHz
11	22_LV	42,8	PEM	4365 W	170°	2-12°	2100 MHz
12	23_GHNT	42,8	PEM	1180 W	170°	0-12°	900 MHz
13	23_GHNT	42,8	PEM	4018 W	170°	2-12°	1800 MHz
14	23_GHNT	42,8	PEM	4365 W	170°	2-12°	2100 MHz
15	31_HLN	45,7	PEM	2410 W	235°	2-10°	1800 MHz
16	31_HLN	45,7	PEM	2410 W	235°	2-10°	2100 MHz
17	31_HLN	45,7	PEM	2410 W	263°	2-10°	1800 MHz
18	31_HLN	45,7	PEM	2410 W	263°	2-10°	2100 MHz
19	31_HLN	45,7	PEM	2410 W	287°	2-10°	1800 MHz
20	31_HLN	45,7	PEM	2410 W	287°	2-10°	2100 MHz

21	31_HLN	45,7	PEM	2410 W	315°	2-10°	1800 MHz
22	31_HLN	45,7	PEM	2410 W	315°	2-10°	2100 MHz
23	32_GHTV	46,05	PEM	1583 W	275°	0-10°	800 MHz
24	32_GHTV	46,05	PEM	1264 W	275°	0-10°	900 MHz
25	32_GHTV	46,05	PEM	10122 W	275°	0-10°	2600 MHz

6) Opis stosowanych metod ograniczania wielkości emisji.

Brak zmian.

7) Informacja, czy stopień ograniczania wielkości emisji jest zgodny z obowiązującymi przepisami.

Stopień ograniczenia wielkości emisji jest zgodny z obowiązującymi przepisami.

8) (uchylony)

-/-

9) Sprawozdanie z wykonanych pomiarów poziomów pól EM, o których mowa w art. 122a ust. 1 pkt 1.

Sprawozdanie nr 65/02/OŚ/2023 – P4-W z dnia 3 mar 2023, Nr akredytacji PCA – AB 1630.

Koordynator OŚ
Alicja Bogumił
kom. -

Signature Not Verified
Dokument podpisany przez
ALICJA BOGUMIŁ
Data: 2023.03.16 12:23:54
CET



Laboratorium EMVO Sp. J. Urbański, Pawelak
ul. Jasna 1
00-013 Warszawa

tel. +48 22 780 29 64
e-mail: laboratorium@emvo.pl



AB 1630

Sprawozdanie z pomiarów pól elektromagnetycznych - środowisko nr 65/02/OŚ/2023– P4-W



Nr i nazwa stacji	WAR1093D	
Adres	Warszawa, Wybrzeże Kościuszkowskie 31/33, pow. Warszawa, woj. mazowieckie	
Opracowanie	Martyna Karczmarczyk	Specjalista ds. pomiarów
Autoryzacja	Andrzej Urbański	Kierownik Laboratorium
Podpis	Signature Not Verified Dokument podpisany przez Andrzej Urbański Data: 2023.03.06 09:40:18 CET Powód: Zatwierdzam dokument	
Data	2023-03-03	

Spis treści

1. Informacje ogólne.....	3
2. Podstawa prawna.....	3
3. Opis pomiarów.....	4
4. Zróżnicowanie dopuszczalne poziomy pól elektromagnetycznych.....	5
5. Charakterystyka źródeł PEM.....	5
6. Wyniki pomiarów.....	5
7. Stwierdzenie zgodności	6
8. Oświadczenie.....	8
9. Spis załączników.....	9

1. Informacje ogólne.

Zleceniodawca	P4 sp. z o.o., ul. Wynałazek 1, 02-677 Warszawa osoba udzielająca informacji- Monika Bierozą
Istotne informacje dostarczone przez klienta	komplet informacji niezbędnych do wykonania pomiarów i opracowania sprawozdania
Dane otrzymane od klienta mogące mieć wpływ na ważność wyników	Dane anten sektorowych, dane anten radioliniowych, parametry pracy instalacji, ustawienie pochylenia anten
Prowadzący instalację	P4 sp. z o.o., ul. Wynałazek 1, 02-677 Warszawa
Lokalizacja obiektu	Warszawa, Wybrzeże Kościuszkowskie 31/33, pow. Warszawa, woj. mazowieckie
Miejsce instalacji anten	Dach budynku
Miejsce instalacji urządzeń	Outdoor
Osoby wykonujące pomiar	Jarosław Buzafa
Data wykonania pomiaru	03.03.2023
Temperatura na początku pomiaru [°C]	4,0
Temperatura na koniec pomiaru [°C]	4,0
Warunki atmosferyczne	Brak opadów
Wilgotność na początku pomiaru [%]	65,0
Wilgotność na koniec pomiaru [%]	65,0
Godzina na początku pomiaru	8:54
Godzina na koniec pomiaru	11:01
Inne źródła pól elektromagnetycznych oznaczone na załączniku graficznym	Występują
Parametry pracy instalacji	Tryb eksploatacyjny

2. Podstawa prawna.

2.1 Normy i rozporządzenia:

- Rozporządzeniem Ministra Klimatu z dnia 17 lutego 2020 r. w sprawie sposobów sprawdzania dotrzymania dopuszczalnych poziomów pól elektromagnetycznych w środowisku (Dz.U. 2020 poz. 258)
- Rozporządzenie Ministra Zdrowia z dnia 17 grudnia 2019 r. w sprawie dopuszczalnych poziomów pól elektromagnetycznych w środowisku (Dz.U. 2019 poz. 2448)
- Obwieszczenie Marszałka Sejmu Rzeczypospolitej Polskiej z dnia 29 września 2021 r. w sprawie ogłoszenia jednolitego tekstu ustawy - Prawo ochrony środowiska (Dz.U. 2021 poz. 1973)

- Rozporządzenie Ministra Klimatu i Środowiska z dnia 6 maja 2022 r. zmieniające rozporządzenie w sprawie sposobów sprawdzania dotrzymywania dopuszczalnych poziomów pól elektromagnetycznych w środowisku (Dz.U. 2022 poz. 1121).

3. Opis pomiarów

Metodologia pomiarowa	Pomiary w oparciu o Rozporządzeniem Ministra Klimatu z dnia 17 lutego 2020 r. w sprawie sposobów sprawdzania dotrzymywania dopuszczalnych poziomów pól elektromagnetycznych w środowisku (Dz.U. 2020 poz. 258) oraz Rozporządzenie Ministra Klimatu i Środowiska z dnia 6 maja 2022 r. zmieniające rozporządzenie w sprawie sposobów sprawdzania dotrzymywania dopuszczalnych poziomów pól elektromagnetycznych w środowisku (Dz.U. 2022 poz. 1121).
Cel badań	Określenie wartości natężenia pola elektrycznego w miejscach dostępnych dla ludności.
Opis zestawu pomiarowego	Miernik Narda NBM 520, Sonda EF 9091, o zakresie pomiarowym 0,7 V/m - 300V/m pracująca w paśmie 0,1 – 90 GHz, świadectwo wydane przez Laboratorium Wzorców i Metrologii Pola Elektromagnetycznego, Instytut Telekomunikacji, Teleinformatyki i Akustyki Politechniki Wrocławskiej. Świadectwo ważne do 07.07.2023. Miernik Narda NBM 520, Sonda EF 9091 pracująca w zakresie temperatury -10°C - +50°C oraz wilgotności 5% - 95%. Niepewność rozszerzona wynosi 38,2% przy poziomie ufności 95% z uwzględnieniem współczynnika rozszerzenia k=2.
Wyposażenie pomocnicze	Termohigrometr Termoprodukt, typ: Termik+, Nr. inwentarzowy 37/WL, nr identyfikacyjny 700618, świadectwo wzorcowania nr 1763/AH/19 z dn. 29.07.2019 r. wydane przez Laboratorium Pomiarowe "MUTECH". Przymiar wstępowy STABILA, Nr. inwentarzowy 36/WL, nr identyfikacyjny 31WL, świadectwo wzorcowania nr 6W1/1826/19 z dn. 02.08.2019 r. wydane przez Dyrektora Okręgowego Urzędu Miar w Gdańsku. GPS Garmin 64s okresowo sprawdzany w punktach osnowy geodezyjnej klasy 3 na podstawie licencji punktu, zgodnie z procedurą sprawdzeń okresowych IS/PO16-11/03.
Pomiary zostały wykonane	<ol style="list-style-type: none"> 1. na głównych i pomocniczych kierunkach pomiarowych, na kierunkach zbliżonych do azymutów anten oraz w dodatkowych pionach pomiarowych zgodnie z wymaganiami pkt 12, 13, 14 i 19 Rozporządzenia Ministra Klimatu z dnia 17 lutego 2020 r. (Dz. U. 2020, poz. 258) oraz Rozporządzenia Ministra Klimatu i Środowiska z dnia 6 maja 2022 r. zmieniającego rozporządzenie w sprawie sposobów sprawdzania dotrzymywania dopuszczalnych poziomów pól elektromagnetycznych w środowisku (Dz.U. 2022 poz. 1121). 2. na obszarze pomiarowym, dla którego, na podstawie uprzednio przeprowadzonych obliczeń stwierdzono w miejscach dostępnych dla ludności występowanie pól elektromagnetycznych o najwyższym poziomie, które pochodzą z badanej instalacji zgodnie z wymaganiami pkt 5 ppkt 2 oraz pkt 13 ppkt 1 Rozporządzenia Ministra Klimatu z dnia 17 lutego 2020 r. w sprawie sposobów sprawdzania dotrzymywania dopuszczalnych poziomów pól elektromagnetycznych w środowisku (Dz. U. 2020, poz. 258) oraz Rozporządzenia Ministra Klimatu i Środowiska z dnia 6 maja 2022 r. zmieniającego rozporządzenie w sprawie sposobów sprawdzania dotrzymywania dopuszczalnych poziomów pól elektromagnetycznych w środowisku (Dz.U. 2022 poz. 1121). Wyniki obliczeń nie uwzględniały parametrów pracy instalacji innych operatorów występujących na obiekcie bądź w obszarze pomiarowym.

Charakterystyka promieniowania		kierunkowa											
Rzeczywisty czas pracy [h/dobę]		24											
Rodzaj wytwarzanego pola		stacjonarne											
Lp	Wyszczególnienie	sektor 3		sektor 4		sektor 5		sektor 6		sektor 7			
I													
Nadajnik stacji bazowej:													
1	Typ / Producent	DBS / SRAN Huawei											
2	Częstotliwość (pasmo) MHz	2100	1800	2100	1800	2600	900	800	2100	1800	2100	1800	
3	Maksymalna moc nadawana na sektor [dBm]	46,02	46,02	46,02	46,02	52,04	44,77	46,02	46,02	46,02	46,02	46,02	
II													
Obciążenie:													
1	Typ anteny	Huawei AAU5726e		Huawei AAU5726e		Huawei ATR4518R6			Huawei AAU5726e		Huawei AAU5726e		
2	Producent anteny	Huawei		Huawei		Huawei			Huawei		Huawei		
3	Nazwa anteny	31_HLN	31_HLN	31_HLN	31_HLN	32_GHTV	32_GHTV	32_GHTV	31_HLN	31_HLN	31_HLN	31_HLN	
4	Ilość anten	1		1		1			1		1		
5	Azymut	235		263		275			287		315		
6	Zakres kątów pochYLENIA anten [°]	2-10		2-10		0-10			2-10		2-10		
7	Wysokość zainst. n.p.t. [m]	45,70		45,70		46,05			45,70		45,7		
8	EIRP [W]	4820		4820		12969			4820		4820		

Tabela 2. Anteny radioliniowe- dane otrzymane od klienta
Brak anten

6. Wyniki pomiarów.

Wyniki pomiarów pól elektromagnetycznych dla celów ochrony środowiska przedstawia poniższa tabela. Piony pomiarowe zostały przedstawione w zał. 2.

Nr PP	Pole-E [V/m]	Pole-E, +U [V/m]	Pole-H [A/m]	Pole-H +U [A/m]	Wys. pomiaru [m]	Opis pionu	Uwagi	WM _E	WM _H
1	1,2	1,66	0,003	0,004	0,3-2,0	N:52°14'16,8" E:21°01'59,0"	otoczenie stacji bazowej - 50m wzdłuż gł. osi promieniowania - GKP	0,059	0,060
2	1,1	1,52	0,003	0,004	0,3-2,0	N:52°14'17,7" E:21°02'00,7"	otoczenie stacji bazowej - 100m wzdłuż gł. osi promieniowania - GKP	0,054	0,055
3	1,0	1,38	0,003	0,004	0,3-2,0	N:52°14'18,7" E:21°02'02,7"	otoczenie stacji bazowej - 150m wzdłuż gł. osi promieniowania - GKP	0,049	0,050
4	1,1	1,52	0,003	0,004	0,3-2,0	N:52°14'14,7" E:21°01'57,6"	otoczenie stacji bazowej - 40m wzdłuż gł. osi promieniowania - GKP	0,054	0,055
5	1,2	1,66	0,003	0,004	0,3-2,0	N:52°14'12,4" E:21°01'58,3"	otoczenie stacji bazowej - 100m wzdłuż gł. osi promieniowania - GKP	0,059	0,060
6	1,0	1,38	0,003	0,004	0,3-2,0	N:52°14'06,0" E:21°01'59,9"	otoczenie stacji bazowej - 300m wzdłuż gł. osi promieniowania - GKP	0,049	0,050
7	0,9	1,24	0,002	0,003	0,3-2,0	N:52°14'04,4" E:21°02'00,2"	otoczenie stacji bazowej - 350m wzdłuż gł. osi promieniowania - GKP	0,044	0,045
8	0,8	1,11	0,002	0,003	0,3-2,0	N:52°14'03,0" E:21°02'00,5"	otoczenie stacji bazowej - 400m wzdłuż gł. osi promieniowania - GKP	0,039	0,040
9	0,8	1,11	0,002	0,003	0,3-2,0	N:52°14'15,0" E:21°01'54,4"	otoczenie stacji bazowej - 50m wzdłuż gł. osi promieniowania - GKP	0,039	0,040
10	1,1	1,52	0,003	0,004	0,3-2,0	N:52°14'13,3" E:21°01'50,6"	otoczenie stacji bazowej - 140m wzdłuż gł. osi promieniowania - GKP	0,054	0,055
11	1,2	1,66	0,003	0,004	0,3-2,0	N:52°14'11,5" E:21°01'45,7"	otoczenie stacji bazowej - 250m wzdłuż gł. osi promieniowania - GKP	0,059	0,060
12	0,9	1,24	0,002	0,003	0,3-2,0	N:52°14'10,6" E:21°01'43,5"	otoczenie stacji bazowej - 300m wzdłuż gł. osi promieniowania - GKP	0,044	0,045

13	0,8	1,11	0,002	0,003	0,3-2,0	N:52°14'09,6" E:21°01'41,0"	otoczenie stacji bazowej - 350m wzdłuż gł. osi promieniowania - GKP	0,039	0,040
14	1,2	1,66	0,003	0,004	0,3-2,0	N:52°14'15,4" E:21°01'48,3"	otoczenie stacji bazowej - 150m wzdłuż gł. osi promieniowania - GKP	0,059	0,060
15	1,3	1,80	0,003	0,005	0,3-2,0	N:52°14'15,3" E:21°01'46,1"	otoczenie stacji bazowej - 200m wzdłuż gł. osi promieniowania - GKP	0,064	0,065
16	0,9	1,24	0,002	0,003	0,3-2,0	N:52°14'14,5" E:21°01'34,0"	otoczenie stacji bazowej - 448m wzdłuż gł. osi promieniowania - GKP	0,044	0,045
17	1,3	1,80	0,003	0,005	0,3-2,0	N:52°14'16,1" E:21°01'51,1"	otoczenie stacji bazowej - 100m wzdłuż gł. osi promieniowania - GKP	0,064	0,065
18	1,3	1,80	0,003	0,005	0,3-2,0	N:52°14'16,8" E:21°01'43,0"	otoczenie stacji bazowej - 250m wzdłuż gł. osi promieniowania - GKP	0,064	0,065
19	1,1	1,52	0,003	0,004	0,3-2,0	N:52°14'16,9" E:21°01'39,6"	otoczenie stacji bazowej - 325m wzdłuż gł. osi promieniowania - GKP	0,054	0,055
20	1,0	1,38	0,003	0,004	0,3-2,0	N:52°14'17,4" E:21°01'32,5"	otoczenie stacji bazowej - 461m wzdłuż gł. osi promieniowania - GKP	0,049	0,050
21	1,1	1,52	0,003	0,004	0,3-2,0	N:52°14'17,3" E:21°01'49,0"	otoczenie stacji bazowej - 160m wzdłuż gł. osi promieniowania - GKP	0,054	0,055
22	1,0	1,38	0,003	0,004	0,3-2,0	N:52°14'18,7" E:21°01'43,6"	otoczenie stacji bazowej - 260m wzdłuż gł. osi promieniowania - GKP	0,049	0,050
23	1,2	1,66	0,003	0,004	0,3-2,0	N:52°14'19,4" E:21°01'39,1"	otoczenie stacji bazowej - 350m wzdłuż gł. osi promieniowania - GKP	0,059	0,060
24	1,2	1,66	0,003	0,004	0,3-2,0	N:52°14'20,0" E:21°01'36,2"	otoczenie stacji bazowej - 410m wzdłuż gł. osi promieniowania - GKP	0,059	0,060
25	0,9	1,24	0,002	0,003	0,3-2,0	N:52°14'21,5" E:21°01'47,6"	otoczenie stacji bazowej - 250m wzdłuż gł. osi promieniowania - GKP	0,044	0,045
26	0,9	1,24	0,002	0,003	0,3-2,0	N:52°14'22,6" E:21°01'46,0"	otoczenie stacji bazowej - 310m wzdłuż gł. osi promieniowania - GKP	0,044	0,045
27	0,8	1,11	0,002	0,003	0,3-2,0	N:52°14'23,9" E:21°01'44,1"	otoczenie stacji bazowej - 350m wzdłuż gł. osi promieniowania - GKP	0,039	0,040
28	0,8	1,11	0,002	0,003	0,3-2,0	N:52°14'26,3" E:21°01'40,6"	otoczenie stacji bazowej - 445m wzdłuż gł. osi promieniowania - GKP	0,039	0,040
A	0,9	1,24	0,002	0,003	0,3-2,0	N:52°14'08,6" E:21°02'00,0"	Solec 36A, pomiar przed budynkiem - DPP	0,044	0,045
B	0,9	1,24	0,002	0,003	0,3-2,0	N:52°14'07,3" E:21°01'58,6"	Solec 38, pomiar przed budynkiem - DPP	0,044	0,045
C	0,9	1,24	0,002	0,003	0,3-2,0	N:52°14'04,8" E:21°01'59,4"	Solec 81B, pomiar przed budynkiem - DPP	0,044	0,045
D	0,8	1,11	0,002	0,003	0,3-2,0	N:52°14'02,2" E:21°01'59,8"	Aleja 3 Maja 5, pomiar przed budynkiem - DPP	0,039	0,040
E	1,1	1,52	0,003	0,004	0,3-2,0	N:52°14'13,7" E:21°01'58,1"	Stefana Jaracza 2, pomiar przed budynkiem - DPP	0,054	0,055
F	1,0	1,38	0,003	0,004	0,3-2,0	N:52°14'12,6" E:21°01'55,9"	Stefana Jaracza 6, pomiar przed budynkiem - DPP	0,049	0,050
G	0,8	1,11	0,002	0,003	0,3-2,0	N:52°14'14,4" E:21°01'55,9"	Stefana Jaracza 3, pomiar przed budynkiem - DPP	0,039	0,040
H	0,8	1,11	0,002	0,003	0,3-2,0	N:52°14'13,1" E:21°01'54,7"	Stefana Jaracza 5, pomiar przed budynkiem - DPP	0,039	0,040
I	1,2	1,66	0,003	0,004	0,3-2,0	N:52°14'14,0" E:21°01'53,0"	Juliana Smulikowskiego 4, pomiar przed budynkiem - DPP	0,059	0,060
J	1,1	1,52	0,003	0,004	0,3-2,0	N:52°14'12,8" E:21°01'51,4"	Juliana Smulikowskiego 2, pomiar przed budynkiem - DPP	0,054	0,055
K	1,2	1,66	0,003	0,004	0,3-2,0	N:52°14'14,8" E:21°01'52,5"	Juliana Smulikowskiego 1/3, pomiar przed budynkiem - DPP	0,059	0,060
L	1,1	1,52	0,003	0,004	0,3-2,0	N:52°14'13,2" E:21°01'49,9"	Dobra 8/10, pomiar przed budynkiem - DPP	0,054	0,055
M	1,3	1,80	0,003	0,005	0,3-2,0	N:52°14'12,2" E:21°01'48,3"	Dobra 7, pomiar przed budynkiem - DPP	0,064	0,065
N	1,2	1,66	0,003	0,004	0,3-2,0	N:52°14'11,5" E:21°01'46,6"	Solec 52, pomiar przed budynkiem - DPP	0,059	0,060
O	0,9	1,24	0,002	0,003	0,3-2,0	N:52°14'09,9" E:21°01'41,7"	Leona Kruczkowskiego 12B, pomiar przed budynkiem - DPP	0,044	0,045
P	0,8	1,11	0,002	0,003	0,3-2,0	N:52°14'15,7" E:21°01'54,5"	Juliana Smulikowskiego 4C, pomiar przed budynkiem - DPP	0,039	0,040
R	1,3	1,80	0,003	0,005	0,3-2,0	N:52°14'16,4" E:21°01'53,7"	Juliana Smulikowskiego 6/8, pomiar przed budynkiem - DPP	0,064	0,065

„Bez pisemnej zgody Laboratorium niniejsze sprawozdanie nie może być powielane inaczej, jak tylko w całości. Ponadto wyniki dotyczą tylko badanych obiektów przywołanych w niniejszym sprawozdaniu z badań”

S	1,1	1,52	0,003	0,004	0,3-2,0	N:52°14'16,9" E:21°01'50,6"	Juliana Smulikowskiego 12, pomiar przed budynkiem - DPP	0,054	0,055
T	1,1	1,52	0,003	0,004	0,3-2,0	N:52°14'16,4" E:21°01'49,7"	Juliana Smulikowskiego 7, pomiar przed budynkiem - DPP	0,054	0,055
U	1,0	1,38	0,003	0,004	0,3-2,0	N:52°14'17,3" E:21°01'47,9"	Juliana Smulikowskiego 9, pomiar przed budynkiem - DPP	0,049	0,050
V	1,0	1,38	0,003	0,004	0,3-2,0	N:52°14'18,2" E:21°01'46,0"	Juliana Smulikowskiego 13, pomiar przed budynkiem - DPP	0,049	0,050
W	1,3	1,80	0,003	0,005	0,3-2,0	N:52°14'17,5" E:21°01'43,7"	Dobra 22/24, pomiar przed budynkiem - DPP	0,064	0,065
A1	0,9	1,24	0,002	0,003	0,3-2,0	N:52°14'14,6" E:21°01'43,0"	Solec 62, pomiar przed budynkiem - DPP	0,044	0,045
B1	1,2	1,66	0,003	0,004	0,3-2,0	N:52°14'16,4" E:21°01'40,4"	Tamka 13, pomiar przed budynkiem - DPP	0,059	0,060
C1	0,9	1,24	0,002	0,003	0,3-2,0	N:52°14'15,0" E:21°01'40,3"	Solec 66, pomiar przed budynkiem - DPP	0,044	0,045
D1	1,1	1,52	0,003	0,004	0,3-2,0	N:52°14'14,2" E:21°01'39,5"	Solec 115A, pomiar przed budynkiem - DPP	0,054	0,055
E1	1,0	1,38	0,003	0,004	0,3-2,0	N:52°14'14,7" E:21°01'37,1"	Tamka 17, pomiar przed budynkiem - DPP	0,049	0,050
F1	1,1	1,52	0,003	0,004	0,3-2,0	N:52°14'17,3" E:21°01'39,6"	Tamka 10/12, pomiar przed budynkiem - DPP	0,054	0,055
G1	1,1	1,52	0,003	0,004	0,3-2,0	N:52°14'16,9" E:21°01'38,9"	Tamka 14, pomiar przed budynkiem - DPP	0,054	0,055
H1	1,0	1,38	0,003	0,004	0,3-2,0	N:52°14'16,9" E:21°01'35,5"	Brak adresu, pomiar przed budynkiem - DPP	0,049	0,050
I1	1,0	1,38	0,003	0,004	0,3-2,0	N:52°14'17,4" E:21°01'33,8"	Zajęcza 13, pomiar przed budynkiem - DPP	0,049	0,050
J1	1,1	1,52	0,003	0,004	0,3-2,0	N:52°14'18,8" E:21°01'41,6"	Dobra 26, pomiar przed budynkiem - DPP	0,054	0,055
K1	1,2	1,66	0,003	0,004	0,3-2,0	N:52°14'19,7" E:21°01'38,5"	Dobra 31, pomiar przed budynkiem - DPP	0,059	0,060
L1	1,0	1,38	0,003	0,004	0,3-2,0	N:52°14'20,8" E:21°01'49,0"	Wybrzeże Kościuszkowskie 41, pomiar przed budynkiem - DPP	0,049	0,050
M1	0,9	1,24	0,002	0,003	0,3-2,0	N:52°14'22,2" E:21°01'46,9"	Elektryczna 2, pomiar przed budynkiem - DPP	0,044	0,045
N1	0,8	1,11	0,002	0,003	0,3-2,0	N:52°14'26,2" E:21°01'39,8"	Dobra 42, pomiar przed budynkiem - DPP	0,039	0,040

Wynik pomiaru pole - F [V/m] - maksymalna wartość chwilowa zmierzona w danym pionie pomiarowym (uśredniona na podstawie punktu 11 załącznika do Rozporządzenia Ministra Klimatu z dnia 17 lutego 2020 r. w sprawie sposobów sprawdzania dotrzymania dopuszczalnych poziomów pól elektromagnetycznych w środowisku (Dz.U. 2020 poz. 258, Dz.U. 2022 poz. 1121)). Zgodnie z pkt. 7 załącznika do Rozporządzenia Ministra Klimatu z dnia 17 lutego 2020 r. w sprawie sposobów sprawdzania dotrzymania dopuszczalnych poziomów pól elektromagnetycznych w środowisku (Dz.U. 2020 poz. 258, Dz.U. 2022 poz. 1121) nie stosuje się poprawek pomiarowych.

Przyjęto najniższą dopuszczalną wartość składowej elektrycznej pola dla objętego pomiarami zakresu częstotliwości $\min(ME_{gr}) = 28 \text{ V/m}$ oraz składowej magnetycznej $\min(MH_{gr}) = 0,073 \text{ A/m}$.

* - wartość zmierzona poniżej zakresu akredytacji. Do obliczeń przyjęto wartość zgodną z dolną granicą akredytowanego zakresu pomiarowego metody.

GKP - główne kierunki pomiarowe

PKP - pomocnicze kierunki pomiarowe

DPP - dodatkowe punkty pomiarowe

PP - pion pomiarowy

U - niepewność pomiarowa rozszerzona, przy poziomie ufności 95%, z uwzględnieniem współczynnika rozszerzenia $k=2$

WM_E - wartość wskaźnikowa poziomu emisji pól elektromagnetycznych dla miejsc dostępnych dla ludności dla składowej elektrycznej pola

WM_H - wartość wskaźnikowa poziomu emisji pól elektromagnetycznych dla miejsc dostępnych dla ludności dla składowej magnetycznej pola

7. Stwierdzenie zgodności

Na podstawie wytycznych podanych w Rozporządzeniu Ministra Zdrowia z dnia 17 grudnia 2019 r. w sprawie dopuszczalnych poziomów pól elektromagnetycznych w środowisku (Dz.U. 2019 poz. 2448) oraz sposobów

„Bez pisemnej zgody Laboratorium niniejsze sprawozdanie nie może być powielane inaczej, jak tylko w całości. Ponadto wyniki dotyczą tylko badanych obiektów przywołanych w niniejszym sprawozdaniu z badań”

sprawdzania dotrzymania tych poziomów zgodnie z Rozporządzeniem Ministra Klimatu z dnia 17 lutego 2020 r. w sprawie sposobów sprawdzania dotrzymania dopuszczalnych poziomów pól elektromagnetycznych w środowisku (Dz.U. 2020 poz. 258) oraz Rozporządzeniem Ministra Klimatu i Środowiska z dnia 6 maja 2022 r. zmieniającego rozporządzenie w sprawie sposobów sprawdzania dotrzymania dopuszczalnych poziomów pól elektromagnetycznych w środowisku (Dz.U. 2022 poz. 1121), dotyczących źródła wymagań, które muszą być spełnione, w oparciu o zasadę podejmowania decyzji zgodną z pkt. 26 Rozporządzenia Ministra Klimatu z dnia 17 lutego 2020 r. (Dz.U. 2020 poz. 258), na podstawie wyników pomiarów pól elektromagnetycznych wykonanych w dniu 03.03.2023 stwierdzono, że wszystkie wyniki przeprowadzonych pomiarów w danym obszarze pomiarowym oraz wyznaczone na tej podstawie wskaźniki WME oraz WMH są mniejsze od wartości dopuszczalnych – zgodnie z przepisami wydanymi na podstawie art. 122 ust. 1 ustawy z dnia 27 kwietnia 2001 r. – Prawo ochrony środowiska – załącznikiem do Rozporządzenia Ministra Klimatu i Środowiska z dnia 17 lutego 2020 r. w sprawie sposobów sprawdzania dotrzymania dopuszczalnych poziomów pól elektromagnetycznych w środowisku (Dz.U. 2020 poz. 258, pkt 26).

8. Oświadczenie.

Wyniki badania odnoszą się wyłącznie do badanego obiektu.

Bez pisemnej zgody sprawozdanie nie może być powielane inaczej, jak tylko w całości.

Uwagi i zastrzeżenia przyjmowane są w formie pisemnej.

9. Spis załączników.

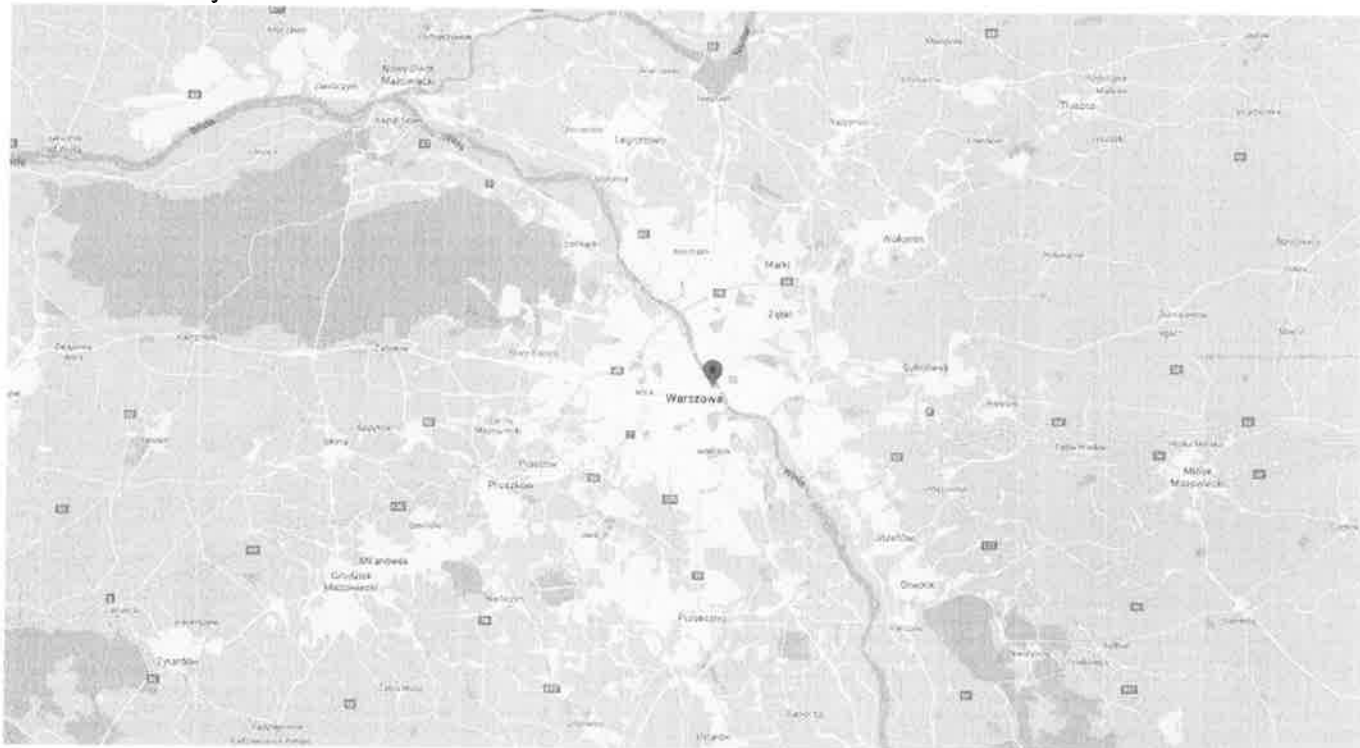
Załącznik 1. Lokalizacja obiektu.

Załącznik 2. Widok pionów pomiarowych

Załącznik 3. Załączniki graficzne

Koniec sprawozdania

Załącznik 1. Lokalizacja obiektu



Współrzędne geograficzne	
długość:	21°01'57.01"E
szerokość:	52°14'16.07"N

„Bez pisemnej zgody Laboratorium niniejsze sprawozdanie nie może być powielane inaczej, jak tylko w całości. Ponadto wyniki dotyczą tylko badanych obiektów przywołanych w niniejszym sprawozdaniu z badań”

Załącznik 2. Widok pionów pomiarowych



LEGENDA:

 inna instalacja radiokomunikacyjna

 brak dostępu

 pion pomiaru

 antena sektorowa

 antena radiolowa

Skala:

1:8300



Załącznik 3. Załączniki graficzne.



